

İÇİNDEKİLER / CONTENTS

	Sayfa No
Necati YALÇIN, Yunus KAYIR, Sibel ERKA Aa2024 Alüminyum Alaşımına Uygulanan Yaşlandırma Yöntemlerinin İşlenebilirliğe Etkisinin Taguchi ve Anova ile Araştırılması Investigation of Effects of The Aging Methods Applied on Aa2024 Aluminum Alloys on Machinability With Taguchi and Anova.....	743-751
Ali ATEŞ Gölyaka (Düzce) İmara Esas Yerleşim Alanındaki Zeminlerin SPT ve Sismik Hız Verileriyle Sıvılaşma Riskinin Araştırılması Assesment of Liquefaction Potential of Düzce (Gölyaka) Soils Using SPT and Shear Wave Velocity Under The Effect of Prospective Eartquake.....	753-763
Kemal YAMAN, Nuri BIÇAKÇI, Ali ÖZGEDİK Matkap Boyunun Delik Toleranslarına Etkisinin İncelenmesi Investigation of The Drill Length Effect on Hole Tolerances.....	765-775
Özlem Salih BİDECI, Rasim Cem SAKA, Alper BİDECI Physical Characteristics of Rubberized Concrete Including Granulated Waste Tire Aggregate Granüle Atık Lastik Agregası İçeren Kauçuk Betonunun Fiziksel Özellikleri.....	777-786
Yücel BÜRHAN, Resul DAŞ Akademik Ağlarda Yazar-Makale Bağlantı Tahmini: Co-Author Link Prediction in Academic Networks.....	787-800
Gökhan SÜRÜCÜ, Hasan Hüseyin GÜLLÜ, Özge BAYRAKLI, Mehmet PARLAK Enhancement in Photovoltaic Characteristics of CdS/CdTe Heterojunction CdS/CdTe Heteroekleminin Fotovoltaik Karakteristiğindeki Artışı.....	801-805
Ulay MATİK, Kübra TANATTI Sıcak Ekstrüze Edilmiş AA7075-SiC ₆ Kompozitlerin Tribolojik Karakteristiklerine Isıl İşlemin Etkisi Effect of Heat Treatments on Tribological Characteristics of Hot-Extruded AA7075-SiC ₆ Composites.....	807-814
Oktaç ADIYAMAN, Vedat SAVAŞ Yeni Bir Tip Düzlem Yüzey Taşlama Mekanizması ile Kesme Parametrelerinin Yüzey Pürüzlülüğüne (Ra) Etkisinin Araştırılması Investigation of the Effect of Cutting Parameters on Surface Roughness by a New Type of Plane Surface Grinding Mechanism (YTM).....	815-825
Çağrı MİNGÖLÜ, Özkan KARAHAAN Metasezgisel Metotlar Kullanılarak Ekonomik Yük Dağıtım Probleminin Çözümü: <i>Grafiksel Kullanıcı Arayüzü Uygulaması</i> Solution of Economic Dispaeth Problem Using Metaheuristic Methods: <i>Graphical User Interface Application</i>	827-835
Barış YILMAZ, Kazım ATMACA Efficiency of Irrigation Associations in Gediz Basin, Turkey Gediz Havzası Sulama Birliklerinin Etkinliği.....	837-842
Zehra URAL BAYRAK, Gökay BAYRAK A Smart Energy Management System Design for Residential Power Plants Evsel Güç Sistemleri için Akıllı Bir Güç Yönetim Sisteminin Tasarımı.....	843-849
Fatih KARİK, Adnan SÖZEN, Muhammed Mustafa İZGEÇ Rüzgâr Gücü Tahminlerinin Önemi: Türkiye Elektrik Piyasasında Bir Uygulama The Importance of Wind Power Forecasts: A Case Study in Turkish Electricity Market.....	851-861
Hüseyin Oktaç ERKOL Ters Sarkaç Sisteminin Yapay Arı Kolonisi Algoritması ile Optimizasyonu Optimization of an Inverted Pendulum System by the Artificial Bee Colony Algorithm.....	863-868
Nihat PAMUK Identification of Critical Values Based on Natural Ester Oils as Potential Insulating Liquid for High Voltage Power Transformers Yüksek Gerilim Güç Transformatörleri için Potansiyel Yalıtım Sıvısı Olarak Doğal Ester Yağlarına Dayalı Kritik Değerlerin Tespit Edilmesi.....	869-877
Latif Onur UĞUR Yapı Makinesi Satın Alımında Vikor Çok Kriterli Karar Verme Yönteminin Uygulanması Application of the VIKOR Multi-Criteria Decision Method for Construction Machine Buying.....	879-885
Mustafa Yavuz ÇELİK, Ahmet ŞAHBAZ İlhea (Kütahya) Bazaltının Beton Agregası Olarak Kullanılabilirliğinin Araştırılması Investigation of the Usability of İlhea (Kütahya) Basalt as Concrete Aggregate.....	887-898
Hasan OZCAN Comparison Of Particle Swarm And Differential Evolution Optimization Algorithms Considering Various Benchmark Functions Parçacık Sürüşü ve Diferansiyel Evrim Optimizasyonu Algoritmalarının Farklı Ölçü Fonksiyonları Kullanılarak Karşılaştırılması.....	899-905
Mesut ABUŞKA, Mehmet Bahattin AKGÜL, Volkan ALTINTAŞ Yutuca Plaka Üzerine Konik Yayların Yerleştirildiği Güneş Enerjili Hava Kollektörünün Bulanık Mantık ile Modellenmesi The Fuzzy Logic Modeling of Solar Air Heater Having Conical Springs Attached on the Absorber Plate.....	907-914
Hasan OZCAN, Sertac Samed SEYTOĞLU Comparative Thermodynamic Assessment of Various Super- and Trans-Critical Working Fluids for Low Temperature Power Generation Applications.....	915-921
Musa ATAR, Davut ŞAKACI, Hakan KESKİN Diyagonal Basma ve Çekme Kuvvetine Farklı Köşe Birleştirme Tekniklerinin Etkileri Impacts of Different Corner Joint Technical on Compression and Tensile Performances.....	923-932
Aysenur USLU, Kübra KIZILOĞLU, Selçuk Kürsat İŞLEYEN, Erkay KAHYA Okul Yeri Seçiminde Coğrafi Bilgi Sistemine Dayalı AHP-TOPSIS Yaklaşımı: Ankara İli Örneği Geographic Information System-Based AHP-TOPSIS Approach for School Site Selection: A Case Study for Ankara.....	933-943
Bekir ÇEVİK, Behçet GÜLENC, Ahmet DURGUTLU The Effects Of Critical Welding Parameters On Tensile-Shear Properties Of Friction Stir Spot Welded Polyethylene.....	945-951
Kasım SERBEST, Murat ÇİLLİ, Mustafa Zahid YILDIZ, Osman ELDOĞAN İmme Rehabilitasyonunda Kullanılabilecek Kablo ve Yay Tahrikli Giyilebilir Bir El Bileği Egzersiz Cihazı Tasarımı Design of a Cable and Spring-Driven Wearable Wrist Exercise Device for Stroke Rehabilitation.....	953-959
Mustafa Yavuz ÇELİK Afyonkarahisar Yöresi Tüflerinin Fiziko-Mekanik Özelliklerinin Ultrases Dalga Hızı ile İlişkisinin İncelenmesi The Relationship of Physico-Mechanical Properties with Ultrasonic Wave Velocity of Afyonkarahisar Tufts.....	961-970
M. Bahadır ÖZDEMİR, Tayfun MENLİK, H. İbrahim VARIYENLİ, Levent SEVİN Bir Termik Santralin Performans Analizi ve Rehabilitasyon Metotları A Thermal Power Plant Performance Analysis and Rehabilitation Methods.....	971-978
Timuçin BARDAK, Selahattin BARDAK Prediction of Wood Density by Using Red-Green-Blue (RGB) Color and Fuzzy Logic Techniques Kırmızı-Yeşil-Mavi (KYM) Renk ve Bulanık Mantık Teknikleri Kullanılarak Odun Yoğunluğu Tahmini.....	979-984
Sinan SÖNMEZ Ultraviyole Flekso Mürekkeplerin Karboksimetil Selüloz ve Polivinil Alkol ile Kaplanmış Kartonların Basılabilirlikleri Üzerindeki Etkilerinin Karşılaştırılması Comparison of into the Effects of Ultraviolet Flexo Ink on Printability of The Paperboards Coated With Carboxymethyl Cellulose and Polyvinyl Alcohol.....	985-991
İbrahim AYDIN, Ferdi ENGİN Hydroxyapatite Coating on Ti6Al4V Alloy Surface Through Biomimetic Method Using Glycolic Acid - Sodium Gluconate Buffer System and Examination of Properties of the Coating Ti6Al4V Alaşımı Üzerine Biyomimetik Yöntemle Glikolik Asit - Sodyum Glukonat Tampon Sistemi Kullanılarak Hidroksiapatit Kaplanması ve Kaplama Özelliklerinin İncelenmesi.....	993-1001
Perihan DURMUŞ, Çiğdem BİLKAN, Mert YILDIRIM Effects of Fequency and Bias Voltage on Dielectric Propoities and Electric Modulus of Au/Bi ₄ Ti ₃ O ₁₂ /n-Si (MFS) Capacitors.....	1003-1008

Journal of Polytechnic

POLİTEKNİK DERGİSİ

VOLUME / CİLT 20 NUMBER / SAYI 4 DECEMBER / ARALIK 2017

**GAZİ ÜNİVERSİTESİ / POLİTEKNİK DERGİSİ**

GAZI UNIVERSTY / JOURNAL OF POLYTECHNIC

<http://www.politeknik.gazi.edu.tr>**GAZİ ÜNİVERSİTESİ**

Politeknik Dergisi

Journal of Polytechnic

Sahibi / Owner
Prof. Dr. İbrahim USLAN
Rektör / Rector

Yayın Yönetmeni / Publishing Manager
Prof. Dr. **Adnan SÖZEN**
Dekan / Dean

Editör Yardımcısı / Associate Editor
Doç. Dr. M. Tolga ÖZKAN
Gazi Üniversitesi / Gazi University

Editör / Editor
Prof. Dr. **Adnan SÖZEN**
Gazi Üniversitesi / Gazi University

Editör Asistanı / Assistant Editor
Dr. Serhat KARYEYEN
Gazi Üniversitesi / Gazi University

YARDIMCI EDİTÖRLER/ASSOCIATE EDITORS

Prof. Dr. Jose Manuel Lopez-Guede, University of the Basque Country
Prof Sanjeevikumar PADMANABAN, University of Johannesburg
Prof. Dr. Hilal KURT, Gazi Üniversitesi
Prof. Dr. Murat HOŞÖZ, Kocaeli Üniversitesi
Prof. Dr. Dilek KUMLUTAŞ, Dokuz Eylül Üniversitesi
Prof. Dr. Zafer TEKİNER, Gazi Üniversitesi
Prof. Dr. Hakan KESKİN, Gazi Üniversitesi
Doç. Dr. Murat YÜCEL, Gazi Üniversitesi
Doç. Dr. Bünyamin CİYLAN, Gazi Üniversitesi
Doç. Dr. Mustafa ÖZER, Gazi Üniversitesi
Doç. Dr. Ahmet DURGUTLU, Gazi Üniversitesi
Doç. Dr. Hamit SOLMAZ, Gazi Üniversitesi

YAYIN DANIŞMA KURULU/EDITORIAL ADVISORY BOARD

Abdullah KURT, Gazi Üniversitesi	M.Baki KARAMIŞ , Erciyes Üniversitesi
Abid ABU-TAIR, Berzeit University	Mahmood GHORANNEUISS, Azad University
Adel NASİRİ , University of Wisconsin Milwaukee	Metin GÜRÜ , Gazi Üniversitesi
Arcan DEREÇİOĞLU , Orta Doğu Teknik Üniversitesi	Metin İPEK , Sakarya Üniversitesi
Arif WANI, California State University	Murat HOSOZ, Kocaeli Üniversitesi
Ayhan ÖZÇİFÇİ , Karabük Üniversitesi	Mustafa AKTAŞ , Gazi Üniversitesi
Ayşe MURATHAN , Gazi Üniversitesi	Myung Hyun KİM , Kyung Hee University
Bekir Sami YILBAŞ , King Fahd University	Nadire Şule ATILGAN , Hacettepe Üniversitesi
Cevdet SÖĞÜTLÜ , Gazi Üniversitesi	Nizamettin KAHRAMAN, Karabük Üniversitesi
Derviş KARABOĞA , Erciyes Üniversitesi	Nobumasa Matsui, Nagasaki University
Engin ÖZDEMİR , Kocaeli Üniversitesi	Nusret AS, İstanbul Üniversitesi
Ercan ÖZGAN , Düzce Üniversitesi	Osman ISIKAN, Marmara Üniversitesi
Erol ARCAKLIOĞLU , TÜBİTAK	Peter LUND, Helsinki University of Technology
Farzollah MIRZAPOUR, University of Zanjan	Ramazan BAYINDIR, Gazi Üniversitesi
Halil İbrahim BAKAN , TÜBİTAK, MAM	Ramazan KURT, Bursa Teknik Üniversitesi
Halit KARABULUT, Gazi Üniversitesi	Ramazan YILMAZ, Sakarya Üniversitesi
Hani H.W.SAIT, King Abdulaziz University	Recep ÇALIN , Kırıkkale Üniversitesi
Hanifi SARAÇ , Yıldız Teknik Üniversitesi	Rodica MILICI, Stefan cel Mare Suceava University
Henryka Danuta STRYCZEWSKA, Politechnika Lubelska	Saffa B. RIFFAT, Nottingham University
Hüseyin AKILLI , Çukurova Üniversitesi	Saw Sor HEOH, INTI International University
Hüseyin EKİZ , Süleyman Şah Üniversitesi	Suat CANBAZOĞLU , İnönü Üniversitesi
Hüseyin Rıza BÖRKLÜ , Gazi Üniversitesi	Süleyman GÜNDÜZ , Karabük Üniversitesi
İbrahim DİNÇER , University of Ontario, Institute of Technology	Seyhan FIRAT, Gazi Üniversitesi
İbrahim SEFA , Gazi Üniversitesi	Sing LEE, Institute for Plasma Focus
İhsan KORKUT , Gazi Üniversitesi	Souad A.M.ALBATHI, International Islamic University of Malaysia
İlhami ÇOLAK , Gazi Üniversitesi	Şükrü DURSUN , Selçuk Üniversitesi
İlker USTA , Hacettepe Üniversitesi	Tayfun MENLİK , Gazi Üniversitesi
İshak KARAKAYA , Orta Doğu Teknik Üniversitesi	Turgay AKBULUT, İstanbul Üniversitesi
İsmail AYDIN , Karadeniz Teknik Üniversitesi	Ulvi ŞEKER , Gazi Üniversitesi
Jamal KHATIB, University of Wolverhampton	Ülkü SAYIN , Selçuk Üniversitesi
Jerzy Smardzewski, Ponzan University	Yakup İÇİNGÜR , Gazi Üniversitesi
John KINUTHIA, University of South Wales	

Cilt /volume : 20	Sayı / number : 4	Aralık/ December : 2017
Politeknik Dergisi Gazi Üniversitesi tarafından yılda dört sayı olarak yayınlanmaktadır / Journal of Polytechnic has been published four issues per year by Gazi University		

BU SAYIYA (CİLT 20 SAYI 4) KATKI VEREN HAKEMLER	
Abdulkadir GÜLLÜ	İhsan TOKTAŞ (2 kez)
Ahmet DEMİR	İlhami DEMİR
Ahmet ÖZDEMİR	Kıvanç BAŞARAN
Alperen TOZLU	Kürşad SEZER
Ayhan ÖZÇİFTÇİ	M. Tolga ÖZKAN
Bahar ASLAN	Mahmut İZCİLER
Diyar AKAY (2 kez)	Mehmet AKCAYOL
Erdal IRMAK	Mehmet ATAK
Erdoğan KÖSE	Muhammet YILDIRIM
Ermedin TOTİÇ	Mustafa ALTINOK
Erol KURT	Mustafa BİLİCİ
Fatih Emre BORAN (2 kez)	Mustafa BOZ
Fatih YAPICI	Mustafa BURUNKAYA
Fethi DAĞDELEN	Mustafa GÜNAY
Fırat KAFKAS	Mustafa İLBAŞ (3 kez)
Fulya ASLAY	Mürsel ERDAL
Gökhan GÖKMEN	Necmi ALTIN (2 kez)
Gülser ACAR DONDURMACI	Nihat IŞIK
H. Mehmet ŞAHİN	Nursel ALTAN ÖZBEK
Hakan ALTUNAY	Osman ŞİMŞEK
Hakan KESKİN	Ramazan BAYINDIR
Hakan YAVUZ	Recep BİRGÜL
Halil DEMİR (2 kez)	Salih YAZICIOĞLU (2 kez)
Halil KIRNAK	Suat CANBAZOĞLU
Hanifi ÇİNİCİ	Tayfun MENLİK
Hasan YILDIZ	Volkan KILIÇLI
İbrahim ATILGAN (2 kez)	Yılmaz ARUNTAŞ
İbrahim ÇİFTÇİ	Yusuf BİÇER
İhsan ALP (2 kez)	Zafer TEKİNER

Yazışma Adresi / Correspondence Address :

Politeknik Dergisi Editörlüğü
Gazi Üniversitesi
Teknoloji Fakültesi
Tanıtım ve Yayın Müdürlüğü
06500 Teknikokullar
ANKARA -TÜRKİYE

Tel : 0312-202 34 12
Fax : 0312-212 00 59
Elektronik Posta Adresi / e-mail : politeknik@gazi.edu.tr

Teknik Sorumlu / Technical Manager: Erdem **ÇİFTÇİ**

Dizgi / Compositor: **İdris ÖZÇELİK**

Baskı / Printing : Gazi Üniversitesi Matbaası / Printing Unit of Gazi University



POLİTEKNİK DERGİSİ

JOURNAL of POLYTECHNIC

ISSN: 1302-0900 (PRINT), ISSN: 2147-9429 (ONLINE)

URL: <http://www.politeknik.gazi.edu.tr/index.php/PLT/index>

Ilıca (Kütahya) bazaltının beton agregası olarak kullanılabilirliğinin araştırılması

Investigation of the usability of Ilıca (Kütahya) basalt as concrete aggregate

Yazar(lar) (Author(s)): *Mustafa Yavuz ÇELİK, Ahmet ŞAHBAZ*

Bu makaleye şu şekilde atıfta bulunabilirsiniz (To cite to this article): Çelik M. Y., ve Şahbaz A., “Ilıca (Kütahya) bazaltının beton agregası olarak kullanılabilirliğinin araştırılması”, *Politeknik Dergisi*, 20(4): 887-898, (2017).

Erişim linki (To link to this article): <http://dergipark.gov.tr/politeknik/archive>

DOI: 10.2339/politeknik.369061

Ilıca (Kütahya) Bazaltının Beton Agregası Olarak Kullanılabilirliğinin Araştırılması

Araştırma Makalesi / Research Article

Mustafa Yavuz ÇELİK^{1*}, Ahmet ŞAHBAZ²

¹Afyon Kocatepe Üniversitesi, Afyon Meslek Yüksek Okulu, Doğal Yapıtaşları Teknolojisi Programı, Ali Çetinkaya Kampüsü, 03100, Afyonkarahisar

²Maden Mühendisi, Serbest

(Geliş/Received : 02.11.2016 ; Kabul/Accepted : 10.11.2016)

ÖZ

Agregalar; beton için önemli bir bileşendir ve beton içerisinde hacimsel olarak yaklaşık %75 oranında kullanılırlar. Betonda kullanılan agregalar TS 706 EN 12620+A1 standardına uygun olmalıdır. Bazalt, günümüz inşaat ve ulaştırma sektöründe; karayolları, demiryolları, liman ve havalimanları inşaatlarında sağlam ve dayanıklı olmasından dolayı tercih edilmektedir. Bu çalışmada Ilıca (Kütahya) yöresindeki bazaltlardan üretilen kırma taşların, beton agregaları standardına uygunluğu araştırılmıştır. Alınan numuneler, boyut küçültme, numune azaltma ve boyuta göre sınıflandırma işlemine tabi tutulduktan sonra ince (0-4 mm) ve iri (4-11,2 mm ve 11,2-22,4 mm) agregalar olarak sınıflandırılmıştır. Bazaltların petrografik-mineralojik (polarizan mikroskop, SEM ve XRD), kimyasal, fiziksel ve mekanik özelliklerinin yanı sıra, agregalar olarak kullanım özellikleri araştırılmıştır. Bazalt agregalara ait veriler TS 706 EN 12620+A1 "Beton Agregaları" standardında öngörülen verilere uygunluğu nedeniyle betonda agregalar olarak kullanılabilmesi sonucuna varılmıştır.

Anahtar Kelimeler: Bazalt, beton agregası, beton, Ilıca (Kütahya).

Investigation of the Usability of Ilıca (Kütahya) Basalt as Concrete Aggregate

ABSTRACT

Aggregates are important for concrete since %75 of the concrete consists of them. However, the used aggregates must comply with TS 706 EN 12620+A1 standard. Basalt, today's construction and transport sectors; highways, railways, ports and airports in the construction is preferred due to the robust and durable. Basalt, today's construction and transport sectors; highways, railways, ports and airports in the construction is preferred due to the robust and durable. In this research, the conformity of crushed stones to concrete aggregates standard is investigated. The stones were produced in the crushing-screening plant of Ilıca (Kütahya) quarry. Taken samples were subjected to size reduction, sample reduction and classification by size processes. After that, they were classified as thin (0-4 mm) and large (4-11,2 mm and 11,2-22,4 mm) aggregates. Moreover, in order to determine the characteristics of the samples petrographic, mineralogical (polarizing microscope, SEM-EDS and XRD), chemical, physical and mechanical tests were applied. According to these tests and analysis; it is determined that basalt aggregates conforms to "TS 706 EN 12620+A1 Concrete Aggregates" standard and crushed stones can be used as aggregate in ready-mixed concrete.

Keywords: Basalt, concrete aggregate, concrete, Ilıca (Kütahya).

1.GİRİŞ (INTRODUCTION)

Heterojen bir içyapıya sahip olan betonun özellikleri, betonda kullanılan malzemeler tarafından belirlenir. Beton hacminin yaklaşık %75'ini oluşturan agregaların kalitesi betonun performansını ve durabilitesini büyük ölçüde etkilemektedir. İyi bir beton elde edilebilmesi için uygun agregalar kullanılması gerektiği bilinen bir gerçektir. Agreganın kimyasal ve mineralojik bileşimi, petrografik yapısı, özgül ağırlığı, sertliği, dayanımı, fiziksel ve kimyasal kararlılığı, boşluk yapısı ve rengi gibi özellikleri elde edildiği kayacın özelliklerine bağlıdır. Tüm bu özelliklerin beton kalitesi üzerindeki etkisi büyüktür [1]. Bazalt, yeryüzünde en çok rastlanan, masif ve sütünsel

yapılı, gri-siyah renkli volkanik bir kayadır. Basınç ve aşınma dayanımları yüksek olan bazaltlar inşaat sektöründe, dış döşemelerde ve kaplamalarda yapı taşı, çevre düzenlemelerinde parke taşı olarak kullanılmaktadır. Bazalt, günümüz inşaat sektörünün yanı sıra ulaştırma sektöründe; karayolları, demiryolları, liman ve havalimanları inşaatlarında kalite ve uzun ömürlü kullanım açısından en fazla tercih edilen doğal taşlardan birisidir. Son yıllarda yüksek dayanımlı beton yapı elemanları üretiminde kullanılmaktadır. Düzbasan vd. [2] 792 adet I 195 tipindeki ön germeli kiriş üretiminde kullanılan C 40/50 sınıfındaki betonda, kalker agregası yerine bazalt agregası kullanılmasıyla 28 günlük basınç dayanımında %14,7 artış olduğunu bildirmişlerdir.

Yol ve yapı sektöründe aranan ve önemli bir kırma taş (agrega) malzemesi olan bazaltlar, oldukça değişik

*Sorumlu Yazar (Corresponding Author)
e-posta : mycelik@aku.edu.tr

bileşime ve dokusal özelliklere sahiptir. Bundan dolayı bazaltlar, beton agregası olarak kullanıldıklarında, alkali-silisi reaksiyonu oluşturabilen potansiyel kayalar arasında yer almaktadır. Bu nedenle beton agregası olarak kullanılacak bazaltların tüm özelliklerinin incelenmesi gerekmektedir.

Literatürde bazaltların, beton üretiminde agrega olarak [3-6] ve asfalt agregası olarak kullanılmasını [7-10] inceleyen bazı çalışmalar bulunmaktadır. Volkanik kayalardan üretilen agregaların alkali miktarı büyük önem taşımaktadır. Çimentoda ve agregalarda alkali miktarı arttıkça alkali silika reaksiyonu (ASR) potansiyeli de artar. Bu neden volkanik kayalarda ASR, çeşitli araştırmacılar [11-14] tarafından incelenmiştir. Bu çalışmada, Ilıca (Kütahya) yöresinde üretilen bazalt kırmataşların TS 706 EN 12620+A1 [15] beton agregaları standardına uygunluğu araştırılmıştır.

2. MATERYAL VE YÖNTEM (MATERIAL and METHOD)

2.1. Materyal (Material)

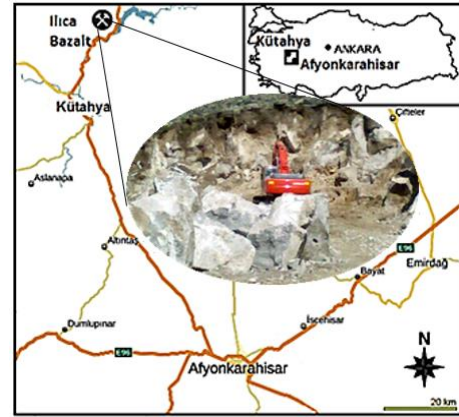
Deneysel olarak kullanılan numuneler, Kütahya merkez Ilıca köyü civarında bulunan bazalt ocağından alınmıştır. Bazaltlar boz, siyah renkli olup yer yer kahverengi görünümlüdür. Çok küçük gaz boşluklu olup bu boşluklar yer yer kalsit dolguludur. Numune temininde TS 706 EN 12620+A1 [15] standardına uygun hareket edilmiştir. Numunelerin alındığı ocak lokasyon haritası ve ocağın görüntüsü Şekil 1’de verilmiştir.

2.3. Yöntem (Method)

Malzeme karakterizasyonu için numunelere mineralojik-petrografik (polarizan mikroskop, XRD ve SEM) ve kimyasal analizler uygulanmıştır. Petrografik incelemeleri için ince kesitler hazırlanmış ve polarizan mikroskop incelemeleri, Nikon marka LV100POL model polarizan mikroskop ile TS 5694 EN 12670 (2004) [16]

ve TS 10088 EN 932-3/A1 [19] standardı kullanılarak tane büyüklüğü, dokusu, mineralojik bileşimi ve kayaç grubu açısından incelenmiştir. XRD analizleri Çanakkale Seramik Fizik laboratuvarlarında Panalytical X-pert MRD (X-celerator dedektör) ile yapılmıştır SEM analiz için numuneler karbonla kaplanmış ve Afyon Kocatepe Üniversitesi Teknoloji Uygulama ve Araştırma Merkezinde bulunan LEO 1430 VP model SEM cihazı incelemeler yapılarak resimleri çekilmiştir. Kimyasal analiz, Çanakkale Seramik fabrikasında Rigaku marka SYS 3270 model XRF cihazı ile yapılmıştır. Agregada deneylerinde dona dayanıklılık deneyi için MgSO₄ ve organik madde tayinin tespiti için NaOH kullanılmıştır.

Standartta uygun olarak bazalt ocağından alınan numuneler, boyut küçültme, numune azaltma (TS EN 932-2) [17] ve boyuta göre sınıflandırma (TS EN 933-1) [18] işlemine tabi tutulduktan sonra ince (0-4 mm) ve iri (4-11,2 mm ve 11,2-22,4 mm) agrega olarak sınıflandırılmıştır. Agregaların standartlara uygunluğu, TS 706 EN 12620+A1’e [15] uygun olarak incelenmiş, fiziksel ve mekanik özelliklerinin belirlenmesi amacıyla Çizelge 1’de belirtilen test ve/veya analizler yapılmıştır.



Şekil 1. Ilıca bazalt ocağı lokasyon haritası. (Location map of the basalt samples used in the experiments)

Çizelge 1. TS 706 EN 12620+A1 [15] standardına göre bazalt agregalarına yapılan test ve/veya analizler. (Basalt aggregates conducted in testing and/or analysis according to TS 706 EN 12620+A1 [15] standard)

Test ve/veya Analiz	Uygulanan Standart	Kaynak
Petrografik analiz	TS 10088 EN 932-3/A1 [19]	TSE, 2006
Numune alma	TS 706 EN 12620+A1 [15]	TSE, 2009
Laboratuvar numunelerin azaltılması metodu	TS EN 932-2 [17]	TSE, 1999
Tane büyüklüğü dağılımının tayini- Eleme yöntemi	TS EN 933-1 [18]	TSE, 2015
Çok ince malzeme muhtevası	TS EN 933-1 [18]	TSE, 2015
İnce tanelerin tayini- Metilen mavisi deneyi	TS EN 933-9 [20]	TSE, 2014
Tane şekli tayini yassılık endeksi	TS EN 933-3 [21]	TSE, 2012
Parçalanma direncinin tayini (Los Angeles metodu)	TS EN 1097-2 [22]	TSE, 2010
Tane yoğunluğu ve su emme oranının tayini	TS EN 1097-6 [23]	TSE, 2013
Gevşek yığın yoğunluğunun ve boşluk hacminin tayini	TS EN 1097-3 [24]	TSE, 1999
Su muhtevası tayini	TS EN 1097-5 [25]	TSE, 2009
Magnezyum sülfat deneyi	TS EN 1367-2 [26]	TSE, 2011
Kimyasal analiz: Asitte çözünebilen sülfat	TS EN 1744-1+A1 [27]	TSE, 2013
Kimyasal analiz: Toplam kükürt	TS EN 1744-1+A1 [27]	TSE, 2013
Kimyasal analiz: Ateş yayiatı	TS EN 1744-1+A1 [27]	TSE, 2013
Kimyasal analiz: Organik madde tayini deneyi	TS EN 1744-1+A1 [27]	TSE, 2013

3. BULGULAR ve TARTIŞMA (EXPERIMENTAL RESULTS AND DISCUSSIONS)

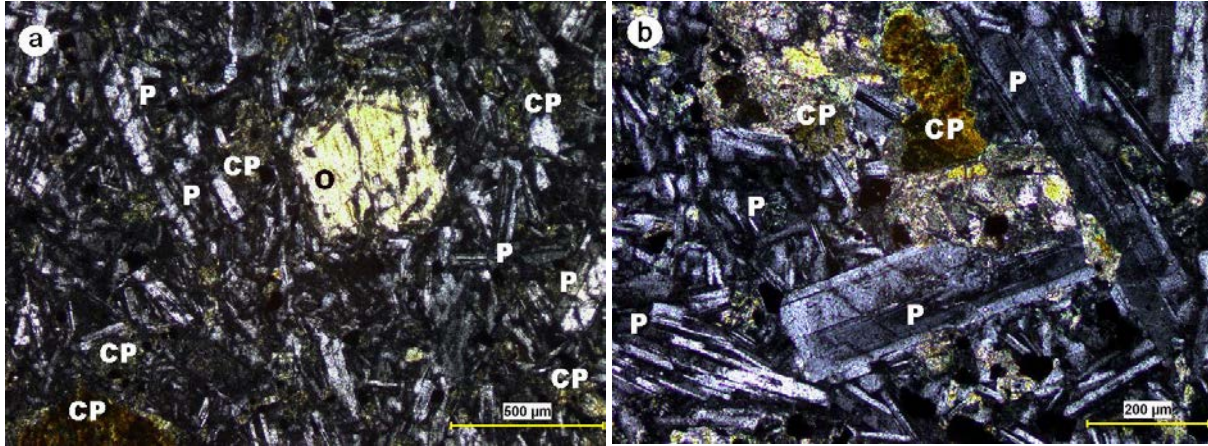
3.1. Mineralojik ve Petrografik Özellikleri (Mineralogical and Petrographic Analysis)

Bazaltların mineralojik bileşimini belirlemek amacıyla ince kesit incelemesi yapılmıştır. Polarizasyon mikroskop incelemelerinde, çoğunlukla plajiyoklaz (labrodorit), piroksen, olivin, kuvars, mika ve opak mineralleri tespit edilmiştir (Şekil 2). İnce kesitlerde hâkim mineral olarak

minimum tane boyutu 34,8 µm ve ortalama tane boyutu ise 25,2 µm olarak bulunmuştur (Şekil 3).

3.1.1. XRD analizi (XRD analysis)

Yapılan XRD analizi sonucunda numune içerisinde labrador, piroksen (ojit), muskovit, montmorillonit, az oranda da sanidin ve kuvars mineralleri tespit edilmiştir (Şekil 4). İnce kesitlerde de görüldüğü gibi hâkim mineral, plajiyoklaz grubu minerallerden labrodorit mineralidir.



Şekil 2. Bazalt numunesinde ince kesit resimleri (çift nikol). Plajiyoklaz (labrodorit) (P), klinopiroksen (CP), olivin (O) minerallerinin görünümü. (Microscopic views of basalt samples (cross nicol), plagioclase (labrodorite) (P), clinopyroxene (CP), olivine (O))

ince ve uzun prizmatik kristaller halinde plajiyoklaz mineralleri görülmektedir. Bunların arasında bazıları küçük bazıları iri boyutlu olivinler ve bol miktarda opak mineraller gözlenmektedir. Olivinler altı veya sekiz köşeli çatlaklı yapıda görülmektedir. Piroksenler, kısa-uzun prizmatik sekiz köşeli kristaller halinde klinopiroksen olarak izlenmektedir. Numune, mikroskop incelemelerine göre, mikro fenokristallerin düzensiz yönlendiği pilotaksitik dokuludur. Petrografik çalışmalar sonucunda örnek bazalt olarak tanımlanmıştır.

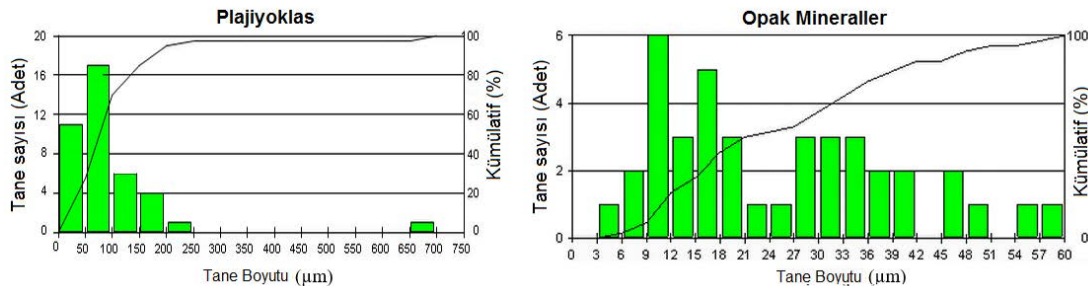
İnce kesitlerde yapılan tane boyut analizinde 40 adet plajiyoklaz tanesine ölçüm yapılmış, maksimum tane boyutu 696,8 µm minimum tane boyutu 29,5 µm ve ortalama tane boyutu ise 101,8 µm olarak bulunmuştur. Küçük tanelere yapılan tane boyut analizinde 40 adet taneye ölçüm yapılmış, maksimum tane boyutu 57,2 µm

3.1.2. SEM incelemesi (SEM analysis)

Bazalt numunesinin SEM analizinde feldspat ve illit mineralleri görülmüştür (Şekil 5). SEM analizinde feldspat grubu plajiyoklaz minerallerinin üzerinde illit mineralleri geliştiği gözlenmektedir.

3.2. Kimyasal Analiz (Chemical Analysis)

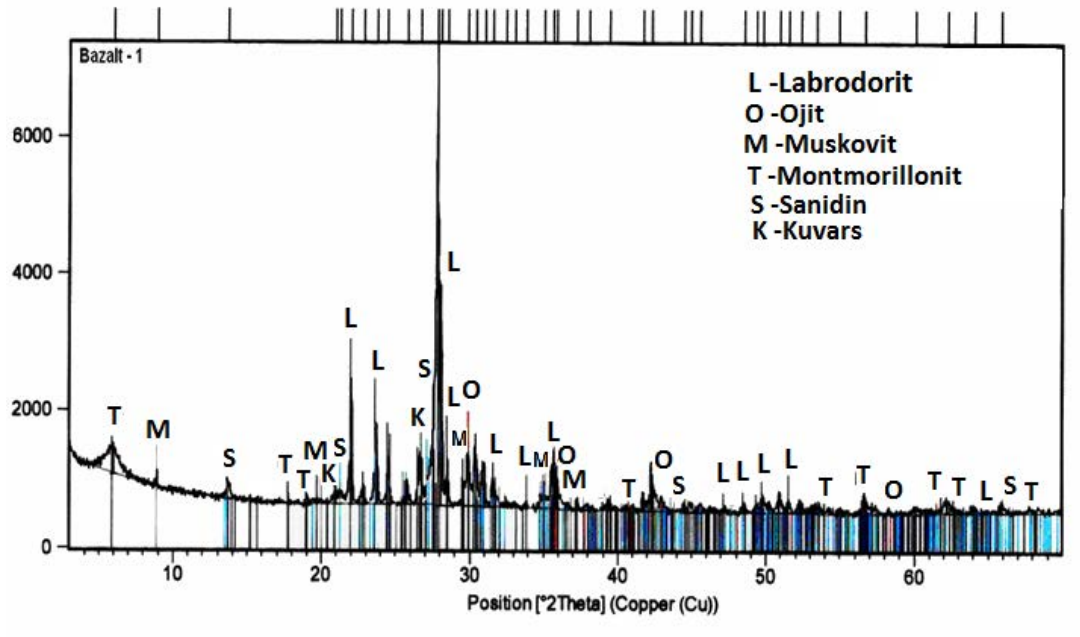
Örnekler üzerinde, XRF yöntemi ile kimyasal analizler gerçekleştirilmiş ve bunlara ait ana element oksit içerikleri Çizelge 2’de verilmiştir. Bazaltlar %52,8 SiO₂ içermektedir. Fe₂O₃ içeriği opak mineraller ve ojit ile ilişkilidir. Rojay et al. (2001) [28] tarafından benzer kayalarda geniş A.Z. (ateş zayıyatı) aralığı (%14,1-16,8), yüksek CaO (ort %22,8) ve düşük SiO₂ oranları bazaltların altere olduğuna delil olarak gösterilmektedir. İncelenen Ilica bazaltının A.Z. %3,42, CaO %9 ve SiO₂ %52,8 olarak tespit edilmiş olup bu verilere göre



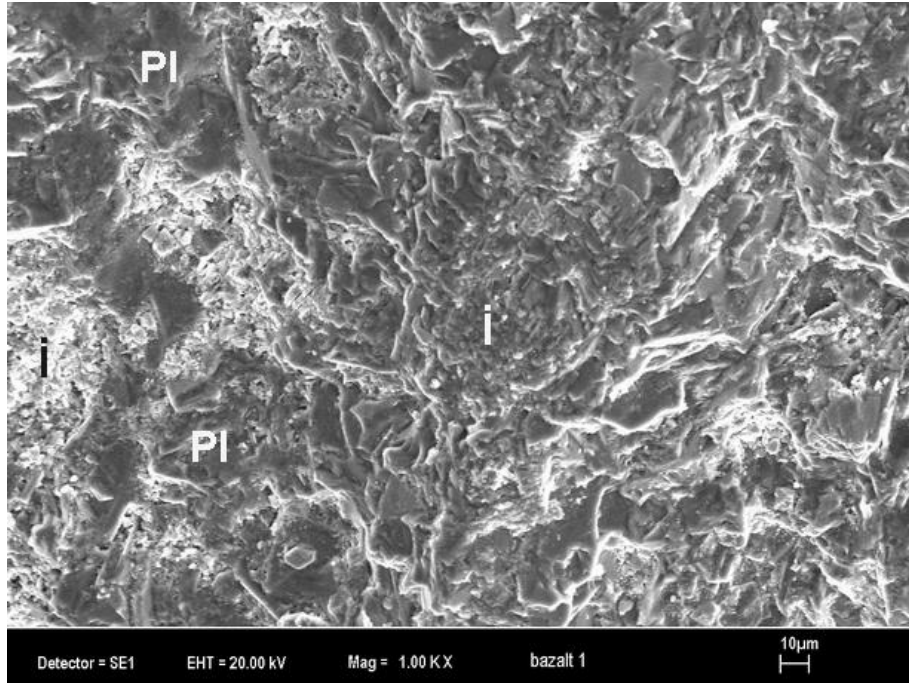
Şekil 3. Bazalt numunesinde plajiyoklaz ve opak minerallerin tane boyut dağılımı. (The particle size distribution of plagioclase and opaque minerals in basalt samples)

herhangi bir ayrışma durumu da söz konusu değildir. Kimyasal analiz verilerine göre; bazaltın bileşimini tespit etmek amacıyla Le Bas, vd. (1992) [29] tarafından

önerilen toplam alkali ve silis diyagramı kullanılmıştır. Buna göre Ilıca bazaltının “bazaltik andezit” bileşimli oldukları belirlenmiştir (Şekil 6).



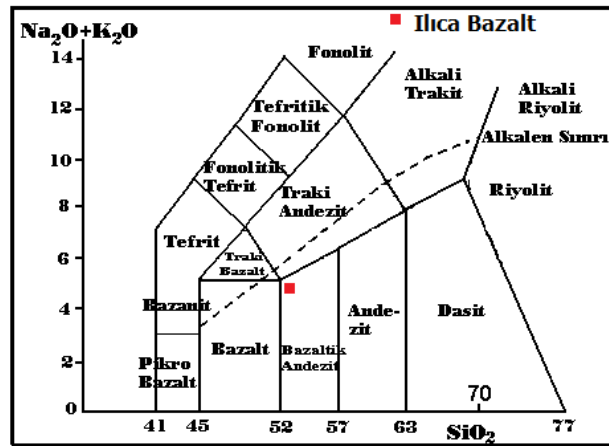
Şekil 4. Bazalt numunesinde XRD analizi. (XRD analyses of basalt sample)



Şekil 5. Bazalt numunesine ait SEM mikro fotosu (PI: feldispat (plajiyoklaz), İ: illit). (Micro photo of basalt sample, PI: feldspar (plagioclase), İ: illite)

Çizelge 2. Bazalt numunesine ait kimyasal analiz sonuçları. (Chemical composition of the basalt sample)

SiO ₂	Al ₂ O ₃	TiO ₂	Fe ₂ O ₃	CaO	MgO	Na ₂ O	K ₂ O	MnO	A.Z.
52,80	15,60	0,90	8,03	9,00	4,20	2,78	2,46	0,142	3,42



Şekil 6.İlica bazaltının toplam alkali içeriğine karşı silis diyagramında sınıflandırılması [29]. Kesikli çizgi: Alkali-subalkali ayrımı Irvine ve Baragar (1971)'e [30] göredir. (Total alkali vs. silica classification diagram for the basalt. Dashed line: alkaline-subalkaline division according to Irvine and Baragar (1971) [30]).

3.3. Agregat Test ve Deneyleri (Aggregate Testing and Experiments)

3.3.1. Tane büyüklüğü dağılımının tayini- Eleme yöntemi (Determination of particle size distribution-Sieving method)

Agrega içindeki değişik boyuttaki tanelerin oranı, agreganın kullanım amacına ve yerine göre önem taşımaktadır. Yapılarda kullanılacak agregalar, hacim içerisinde, birbirlerinin oluşturdukları boşluklarını

elde etmek mümkün olabilecektir. Ayrıca tane boyutları küçüldükçe toplam yüzey alanı artar ve bunun sonucu su ihtiyacı fazla olur [31].

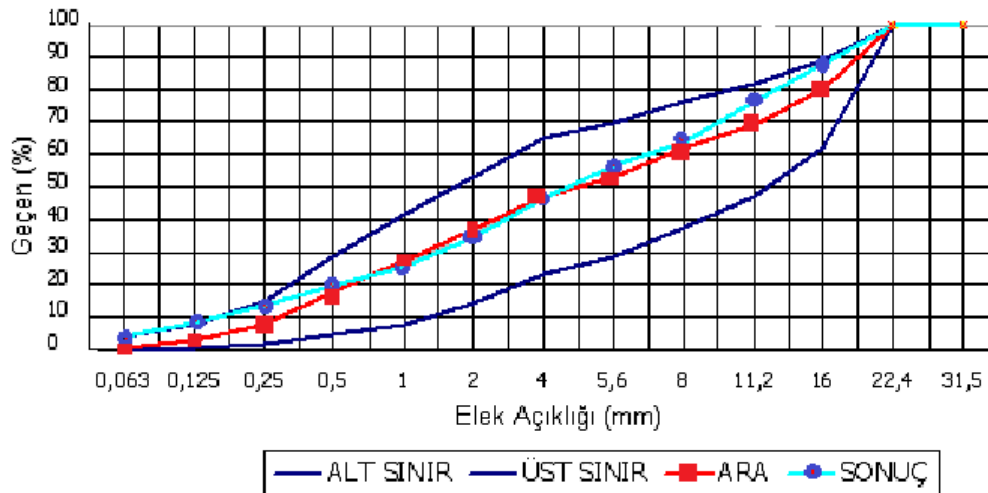
Beton üretiminde kullanılacak karışım agregasının granulometrisi “ideal granulometri eğrileri” ile uyumlu veya “ideal bölge” içinde kalmalıdır. Kompartitenin yüksek olmasının en önemli şartlarından biri ideal granulometri eğrisine sahip agregat kullanılmasıdır. Bu nedenle agregalara TS EN 933-1 [18] standardına uygun

Çizelge 3. Kıırma bazalt agregasının elek analizi sonuçları (The results of sieve analysis of the crushed basalt aggregates)

Elek Göz Açıklığı (mm)	0-4 mm			4-11,2 mm			11,2-22,4 mm		
	Küm. Kalan (gr)	% Kalan	% Geçen	Küm. Kalan (gr)	% Kalan	% Geçen	Küm. Kalan (gr)	% Kalan	% Geçen
22,4	-	-	-	-	-	-	0	0	100
16	-	-	-	-	-	-	896	48,40	51,65
11,2	-	-	-	62	4,45	95,55	755	89,10	10,90
8	-	-	-	596	47,96	52,04	202	100	0
5,6	-	-	-	451	80,95	19,05	-	-	-
4	89	10,70	89,32	261	100	0	-	-	-
2	189	33,40	66,63	-	-	-	-	-	-
1	139	50,10	49,94	-	-	-	-	-	-
0,5	101	62,20	37,82	-	-	-	-	-	-
0,25	95	73,60	26,41	-	-	-	-	-	-
0,125	84	83,70	16,33	-	-	-	-	-	-
0,063	75	92,70	7,30	-	-	-	-	-	-
Tava	61	100	0	-	-	-	-	-	-
Toplam	833	-	-	1370	-	-	2238	-	-

dolduracak boyutlarda olmalıdırlar. Ancak uygun boyut dağılımı (agrega granulometrisi) ile işlenebilirliği yüksek, segregasyona uğramamış ve boşluksuz bir beton

olarak elek analizleri yapılmaktadır. Yapılan elek analizleri sonucunda elde edilen ince (0-4 mm) ve iri (4-11,2 mm ve 11,2-22,4 mm) agregat sonuçları Çizelge 3’de



Şekil 5. Kıırma bazalt agregasına ait granülometri eğrisi (Grading curve of the crushed stone basalt aggregates)

verilmiştir. Elek analizi sonucunda betonda kullanılacak agreganın granülometri eğrileri çizilmiştir (Şekil 5). Bazalt agregalarına yapılan elek analizi sonucunda çıkan granülometri eğrileri, TS 706 EN 12620+A1 [15] standardı granülometri eğrisi sınırları içerisinde kalmaktadır.

İncelik modülü, agreganın gradasyonunun bileşimi hakkında bilgi veren bir sayıdır. İncelik modülü delik açıklığı birbirinin iki misli artan elekler üzerinde kalan malzemenin yığışlımı yüzdelere toplamının yüze bölünmesiyle elde edilen rakamdır. Agregada daneleri küçüldükçe incelik modülü azalır, taneler irileştikçe incelik modülü büyür [32]. Elek analizi deneyi sonucu her elek üzerinde kalan agregaların yığışlımı ağırlık yüzdeleri toplanarak yüze (100) bölünmesi ile incelik modülü (İM) bulunur. Beton karışım hesaplarında, ince agreganın (0-4 mm) incelik modülü kullanılmaktadır [33]. İnce bazalt agregasının ortalama incelik modülü 2,3 bulunmuştur. İncelik modülü sıfır ile granülometri deneyinde kullanılan elek sayısı arasındaki değerler olabilir. Yani yukarıdaki örnekte 0 ile 8 arasında olabilir. İncelik modülü şu şekilde yorumlanır: Değer büyükse

elekler üzerinde kalan malzeme çoktur. Yani malzeme iridir. Değer küçükse malzemenin çoğu eleklerden geçmiştir. Yani malzeme incedir.

TS 706 EN 12620+A1 [19]'e göre; ince agregada bulunan toplam çok ince malzeme muhtevası, %3'ten (veya agreganın kullanıldığı yerde geçerli olan mevzuata göre belirtilmiş olan başka bir değerden) daha az olması durumunda zararsız olarak kabul edilmektedir. Çok ince malzeme muhtevası yüksek oranlara ulaştığı takdirde beton mukavemetinin azalması, su ihtiyacının artması, işlenebilmesi ve betonun büzülmesi gibi bazı olumsuz etkilere yol açmaktadır.

Bazalt numunesinde çok ince malzeme muhtevası değerleri, iri agregalarda (4-11,2 mm ve 11,2-22,4 mm) ortalama olarak sırasıyla %0,5 ve %0,65 bulunmuştur. İnce agregada (0-4 mm) numunenin ise ortalama olarak çok ince malzeme muhtevası %3'dür (Çizelge 4). Çok ince malzeme muhtevası, ilgili kategoriye uygun olarak, iri agregalar için $f_{1,5}$, ince malzemeler için de f_3 olarak bulunmuştur. Elde edilen sonuçlar ilgili standarda göre uygundur.

Çizelge 4. Kıırma bazalt agregasına ait çok ince malzeme muhtevası değerleri (Very fine material content values of crushed basalt aggregates)

Agrega Boyutu (mm)	(M ₁) (g)	(M ₂) (g)	(M _y) (%)	(M ₀) (%)
0-4	1000	969	3,10	3,00
	1003	972	3,10	
	998	970	2,80	
4-11,2	2000	1986	0,70	0,65
	2000	1988	0,60	
	2001	1988	0,65	
11,2-22,4	2000	1992	0,40	0,50
	2002	1990	0,60	
	2000	1990	0,50	

(M₁: Deney numunesinin ilk kuru ağırlığı, M₂: Yıkanan deney numunesinin kuru ağırlığı, M_y: 0,063 mm göz açıklıklı elekten geçen kütlece yüzde, M₀: 0,063 mm göz açıklıklı elekten geçen ortalama değer)

3.3.2. Sıkışık ve gevşek yığın yoğunluğu tayini
(Determination of cramped and loose bulk density)

Agregaların sıkışık ve gevşek yığın yoğunluğu tayini deneyi, TS EN 1097-3 [24] standardına göre yapılmıştır. Doğal agregaların sıkışık yığın yoğunluğu genel olarak 1.500 ile 1.900 kg/dm³ arasındadır. Testler, en az üç numune üzerinde tekrarlanmış ve elde edilen sonuçlar Çizelge 5’de verilmiştir. Çizelge 5’de görüldüğü üzere bazalt agregalarının beton için gerekli yığın yoğunluğu, TS EN 1097-3 [24] standardında öngörülen sınır değerleri içerisinde yer almaktadır. İri agregalar (4-11,2 ve 11,2-22,4 mm) ortalama 1.504 ve 1.543 kg/dm³ değerlerine sahiptir. 0-4 mm boyutlu ince agregada ise 1.631 kg/dm³ değeri ile üst sınıra yaklaşmıştır.

3.3.3. Tane yoğunluğu ve su emme oranının tayini
(Determination of particle density and water absorption)

TS EN 1097-6’ya [23] göre uygun olarak hazırlanan numunelerle gerçekleştirilen testlerde yoğunluk ve su emme değerleri; iri ve ince agregalar için Çizelge 6’da verilmiştir. Yoğunluklar, iri agregalar (4-11,2 mm ve 11,2-22,4 mm) için 2,72 ve 2,75 kg/dm³, ince agrega (0-4 mm) için ise 2,71 kg/dm³ dür. TS EN 206-1 standardının öngördüğü limit yoğunluk değerleri 2,50–2,70 kg/dm³ arasında olduğundan, araştırmaya konu iri ve ince agregalar, önerilen sınır değerleri içinde yer almaktadır. Agregaların yüksek yoğunluk değerlerine sahip olması, boşluksuz ve sağlam olarak değerlendirildiğinden dolayı incelenen agregaların

Çizelge 5. Kırma bazalt agregalarına ait sıkışık ve gevşek birim ağırlık değerleri (Cramped and loose bulk density of crushed basalt aggregates)

Agrega sınıfı	Agrega Boyutu (mm)	Gevşek yığın yoğunluğu (kg/dm ³)	Referans Değer [34] (kg/dm ³)	Sıkışık yığın yoğunluğu (kg/dm ³)	Referans Değer [34] (kg/dm ³)
İnce agrega	0-4	1.547	≥1,35	1.631	1,5-1,9
İri agrega	4-11,2	1.447	≥1,25	1.543	1,5-1,9
İri agrega	11,2-22,4	1.392	≥1,25	1.504	1,5-1,9

Gevşek yığın yoğunluğu, agreganın tane şekli ve yoğunluğuyla yakından ilgilidir. Agregada bulunan kusurlu tane oranı arttıkça boşluk miktarı artar ve gevşek yığın yoğunluğu da düşer. Agreganın boşluklu olması, betonun dış etkenlere karşı dayanımını olumsuz olarak etkileyeceğinden, bunu önlemek için tane granülometri eğrisinden yararlanılarak betonun boşluğu azaltılabilir. Çizelge 5’de görüldüğü gibi, gevşek yığın yoğunluğu değerleri ortalamaları sırasıyla 11,2-22,4 mm boyutlu iri agrega için 1.392 kg/dm³, 4-11,2 mm boyutlu agrega için 1.457 kg/dm³ ve 0-4 mm boyutlu ince agrega için ise 1.547 kg/dm³ olarak bulunmuştur. Yığın yoğunluğu değerleri dikkate alındığında agregalar beton yapımında kullanılabilir özelliktedir.

kaliteli olduğu söylenebilir ve beton yapımında kullanılabilir.

Agregaların su emme değerleri, dona karşı mukavemeti ve dayanımı etkilemektedir. Agreganın tane yoğunluk ve su emme oranı, esas olarak beton karışım hesaplarında kullanılmaktadır. Bazalt agregaların su emme oranı 4-11,2 mm ve 11,2-22,4 mm boyutlu iri agregalar için sırasıyla %2,51 ve %1,55, 0-4 mm boyutlu ince agregalar için %1,12’dir. Beton yapımında kullanılacak agregaların TS EN 1097-5 [25] standardına göre; %10 su emme oranını geçmemesi istenmektedir. Bu durumda bazalt agregaların standartlara uygun olduğu söylenebilir.

Çizelge 6. İri ve ince kırma bazalt agregaların ortalama yoğunluk ve su emme oranları. (The average particle density and water absorption of coarse and fine crushed basalt aggregates)

Agrega Boyutu (mm)	(M ₁) (gr)	(M ₂) (gr)	(M ₃) (gr)	(M ₄) (gr)	Kuru yoğunluk (kg/dm ³)	Doygun Kuru Yüzey yoğunluk (kg/dm ³)	Yoğunluk (kg/dm ³)	Su Emme (%)
0-4	491,00	3028,33	2723,00	479,00	2,58	2,65	2,75	2,51
4-11,2	1238,33	3497,33	2725,00	1219,33	2,61	2,65	2,72	1,55
11,2-22,4	993,67	3344,67	2725,00	982,67	2,62	2,65	2,71	1,12

(M₁: doygun kuru yüzey ağırlığı, M₂: ölçü kabı, su ve numune ağırlığı, M₃: ölçü kabı ve su ağırlığı)

3.3.4. Yassılık indeksi deneyi (Flatness index test)

Agrega tanelerinin şekli, taze betonun işlenebilirliği özelliğini doğrudan etkilemektedir. Agregaların yassılık indeksinin tayini agregalarda, tane büyüklüğü 4 mm ile 80 mm arasında olan agregalarda aranan bir özelliktir. Yassılık indeksi için üst limit %55'dir ve agregaların bu değeri aşması istenmez. Agregatanelerinin şeklini belirlemek için yassılık indeksi deneyi TS EN 933-3'e [21] göre yapılmıştır. Buna göre bazalt agregaları %12,26 yassılık değerine sahiptir (Çizelge 7). Bu yassılık indeksi değeri ile TS 706 EN 12620+A1 [15] standardına göre FI₁₅ kategorisinde yer almaktadır. Çıkan sonucun, standartlarda öngörülen sınır değerinin altında olması nedeniyle bazalt agregaları beton yapımında kullanılabilir özelliktedir.

olmuştur (Çizelge 8). Deneylerde sırasıyla sonuçlar, %0,72, %0,73 ve %0,75 olarak bulunmuştur. Metilen mavisi sınır değeri (MB) (%1) olmasından dolayı bu durum, agreganın ince madde içermediğine işaret etmektedir. Ayrıca çok ince malzeme muhtevası değerinin de düşük olması metilen mavisi sonucunu desteklemektedir.

3.3.6. Parçalanma direncinin tayini (Determination of resistance of fragmentation)

Agreganın aşınmaya karşı dayanıklılığı TS EN 1097-2 [22] standardına göre yapılmıştır. İri agreganın aşınma miktarı, aşındırıcı bir yük kullanarak Los Angeles makinesi ile tayin edilmektedir. Beton agregalarında TS 706 EN 12620+A1 [15] standardına göre tamburun 500

Çizelge 7. Kıırma bazalt agregalarının yassılık indeksi değeri (Flakiness index value of crushed basalt aggregates)

Numune No	Deneye Giren Toplam Malzeme Miktarı (gr)	Yassı Malzeme Miktarı (gr)	Yassılık Endeksi Değeri (%)	Ortalama Yassılık Endeksi FI (%)
1	1088	128	12,00	
2	1174	156	13,30	12,26
3	1046	120	11,50	

3.3.5. İnce tanelerin tayini-metilen mavisi deneyi (Assessment of fine particles-methylene blue test)

Metilen mavisi deneyi, TS EN 933-9 [20] standardına göre yapılmış olup bu deney malzeme içerisindeki kirlilik ve kil oranını göstermektedir. Sadece ince

devir dönmesi sonucunda oluşan aşınma oranı maksimum %50 olmalıdır. Los Angeles test sonuçları Çizelge 9'da verilmiştir. Yapılan üç adet aşınmaya karşı dayanıklılık deneyinin aşınma oranları ortalaması, 4-11,2 mm boyutlu agregalar için %14,8, 11,2-22,4 mm boyutlu

Çizelge 8. Kıırma bazalt numunesine ait metilen mavisi değeri (Methylene blue value of crushed basalt samples)

Numune No	Deneye Giren Numune Miktarı (gr)	İlave Edilen Metilen Mavisi Çözeltisi (ml)	Metilen Mavisi Değeri (MB) (%)	Metilen Mavisi Sınır Değeri (MB) (%)
1	210	15	0,72	
2	206	15	0,73	1
3	200	15	0,75	

malzemeye uygulanan bu deneyde, üst limit %1,5'dir. Bu değer üstündeki malzeme killi kabul edilir ve beton üretiminde kullanılmaz. 0-2 mm boyutundaki agregalarda, beher kilogram başına tüketilen metilen mavisinin gram cinsinden ifadesi metilen mavisi değeridir. Bazalt numunesinde kil varlığını tespit için, üç ayrı örnekte de 15 ml metilen mavisi çözeltisi yeterli

agregalar için %12,8 olarak bulunmuştur. Buna göre; Los Angeles katsayısı, LA₁₅ kategorisine uymaktadır. Bu verilere göre bazalt agregaları, standartlarda öngörülen sınır değerlerin altında yer almakta olup beton üretiminde kullanılabilir özelliktedir.

Çizelge 9. Kıırma bazalt agregalarının Los Angeles aşınma dayanım değerleri (Los Angeles abrasion durability value of crushed basalt aggregates)

Agrega Boyutu (mm)	Numune No	İlk Ağırlık (M ₁) (gr)	1.6 mm'lik Elekte Kalan (M ₂) (gr)	Aşınma Oranı (%)	Ortalama Aşınma Oranı (%)
4-11,2	1	5000	4289	14,30	
	2	5001	4211	15,80	14,80
	3	5004	4301	14,10	
11,2-22,4	1	5002	4393	12,20	
	2	5002	4328	13,50	12,80
	3	5000	4361	12,80	

3.3.7. Magnezyum sülfat deneyi (Magnesium sulfate test)

Bu test, agregaların donma ve çözölmeye karşı dayanımlarının belirlenmesinde çabuklaştırılmış bir deneydir. Magnesium sülfat çözeltisi ile TS EN 1367-2 [26] standardına göre yapılmıştır. Bazalt agregalarında 11,2-22,4 mm boyutlu iri numunenin donma ve çözölmeye karşı kütle kaybı değeri ortalama %3,23, daha ince olan 4-11,2 mm boyutlu numunenin kütle kaybı değeri ise %9,23 bulunmuştur. İnce boyutlu agregaların yüzey alanı, iri boyutlu agregalara göre daha fazla olduğu için çözölmeye karşı kütle kaybı değeri daha fazla olarak ölçölmüştür. Her iki boyutlu numune de TS 706 EN 12620+A1 [15] standardına göre MS₁₈ kategorisinde yer almaktadır.

tür tuzlar, betonun toplam klorür ve alkali muhtevasını artırır. Betonun ihtiva ettiđi metalin korozyon riskini en aza indirmek amacıyla, betondaki toplam klorür miktarının sınırlandırılması gerekmektedir. Suda çözönelir klorür miktarı deneyi TS EN 1744-1 [27] standardına uygun olarak yapılmıştır. Yapılan deney sonucunda bazalt agregaları içerisinde klorür miktarları sınır değerin (%0,01) altında, eser miktarda (%0,0024) bulunmuştur.

3.3.10. Asitte çözönelir sülfat tayini (Determination of acid-soluble sulfate)

Agregalarda bulunan sülfatlar, betonda ivmeye bađlı hasara sebep olabilirler. Belirli şartlar altında agregalarda mevcut olan diđer kükürt bileşikleri, sülfatları

Çizelge 10. Kıırma bazalt agregalarının kütle kaybı değeri (Mass loss value of basalt crushed aggregate)

Agrega Boyutu (mm)	İlk Ađırlık (gr)	Elekte Kalan (gr)	Kütle Kaybı (%)	Ortalama Kütle Kaybı (%)
4-11,2	412	379	8,00	9,23
	410	386	6,90	
	415	362	12,80	
11,2-22,4	400	388	3,00	3,23
	403	390	3,22	
	408	394	3,47	

3.3.8. Organik madde (humus) tayini deneyi

(Experimental determination of organic matter)

Bazalt agregalarında organik madde tayini deneyi, TS EN 1744-1 [27] standardı kullanılarak yapılmıştır. Agregada içinde çürümüş bitki kökleri, meyveleri veya yaprakları çeşitli asit ve türevlerini oluşturmaktadır. Agregada içindeki organik kökenli maddenin çok olması durumunda betonun katılaşması gecikir veya gerçekleşmeyebilir. Bu da betonun ilk günlerdeki dayanımını olumsuz yönde etkiler.

Bir cam şişeye, 80 mm yüksekliğe kadar %3'lük NaOH çözeltisi konulur. Takiben çözelti ve agregada yüksekliği 120 mm oluncaya kadar deney numunesi parçaları eklenir. Şişenin tapası kapatılır ve 1 dakika kuvvetlice çalkalanır ve beklemeye bırakılır. 24 saat sonra, benzer şişede bulunan standart renk çözeltisi ile oluşan çözeltinin rengi mukayese edilir. Humusun NaOH ile reaksiyona girmesiyle gelişen koyu renk esas alınır. Rengin yoğunluğu humus muhtevasına bađlıdır. Çözeltide hiç ya da çok hafif renklenme varsa, agregada kayda değeri miktarda humus olmadığı anlaşılır [35].

Bazalt numunesinin üzerinde oluşan eriyik, hafif sarı ve renksiz sayılabilecek bir deđişim göstermiştir. Bu da renk skalasına göre 1-2 referans değerler arasında olduğunu göstermektedir. Bu sonuca göre incelenen bazalt agregası, organik madde bakımından beton yapımına uygundur denilebilir.

3.3.9. Suda çözönelir klorür tayini (Determination of water soluble chloride)

Klorürler, agregada kaynađına bađlı olarak, agregalarda sodyum ve potasyum tuzları halinde bulunabilirler. Bu

oluşturmak üzere beton içinde indirgenebilirler. İncelenen bazalt agregasının asitte çözönelir sülfat miktarı TS EN 1744-1 [27] standardında madde 12'ye göre tayin edilmiştir.

Bazalt agregalarında asitte çözönelir sülfat muhtevası, kütlece yüzde %0,02 olarak tespit edilmiş olup, AS_{0,2} kategorisinde yer almaktadır. Asitte çözönelir sülfat miktarı kütlece %0,8 değerini aşmamalıdır. TS 706 EN 12620+A1 [15] standardına göre yapılan deđerlendirmede agregalar asitte çözönelir sülfat miktarı bakımından kullanıma uygundur.

3.3.11. Toplam kükürt miktarının tayini

(Determination of total sulfur content)

Bazalt agregalarında toplam kükürt miktarı TS EN 1744-1 [27] madde 11'e uygun olarak tayin edilmiş olup, %0,022 bulunmuştur. Bu değeri, TS 706 EN 12620+A1'de [15] verilen %2'lik sınır değerin altında olup, söz konusu bazalt agregaları kükürt miktarı bakımından kullanıma uygundur.

3.3.12. Alkali silika reaktivitesi (ASR) (Alkali silica reactivity)

Alkali silis reaktivitesi (ASR), beton agregalarında bulunan reaktif silis ile betonun boşluk çözeltisinde bulunan hidroksil ve alkali iyonlarının reaksiyonudur. Bu reaksiyon, betonda nem etkisiyle gelişen alkali-silis jelinin oluşmasına neden olur. Betonda gelişme sonucu meydana gelen çekme gerilmeleri çatlamaya yol açar [36]. Betondaki alkali miktarı arttıkça ASR potansiyeli de artar. ASR'nin artması sülfat etkileri, tabii don, donma ve çözölmelerin etkilerinin hızlanarak artmasına neden olur [37]. Katayama vd. (1989)'a [38] göre, bazaltlardaki

SiO₂ içeriği %50'den fazla olduğunda, alkali-silisi reaktivitesi açısından andezit gibi davranmakta ve potansiyel reaktif agrega özelliği gösterebilmektedir. Kimyasal analiz sonuçlarından da görüldüğü gibi bazalt agregası SiO₂ oranı %52,80'dir. Bu nedenle bazalt agregaları için alkali reaktivitesi deneyleri yapılması gerekmektedir. Alkali-agrega reaksiyonunun belirlenmesi amacıyla birçok standart geliştirilmiştir. Mevcut yöntemler arasında en çok kullanılanı harç çubuklarının denendiği yöntemdir. ASR deneyi ASTM C 1260 [39] standardına göre yapılmış ve standartta verilen sınırlamalara göre değerlendirilmiştir.

•Güvenli bölge: Genleşme değeri %0,1'in altındaysa ASR problemi yoktur.

•Şüpheli bölge: Genleşme değeri %0,1 ile %0,2 arasındaysa ASR riski muhtemeldir.

•Tehlikeli bölge: Genleşme değeri %0,2 değerinin üzerinde ise ASR açısından tehlikelidir.

Bu deney için oluşturulan beton karışım oranları; 0-4, 4-11,2 ve 11,2-22,4 mm boyutlarındaki agregalar sırasıyla %48, %13, %20, çimento %11,7 ve su %7,3 oranındadır. Deneyde, bazalt agregalarının çimento hamuruyla oluşturabileceği reaksiyon sonucu, genleşmesine bağlı olarak oluşan boy uzamaları belirlenmiştir. Deneyler, üç numune üzerinde tekrarlanmıştır. Bazalt agregalarında, harç çubuğu deney yöntemine göre 21 günlük genleşme oranı ortalaması %0,093 olarak bulunmuştur. Genleşme oranı değeri %0,1 değerinin altında olduğu için alkali silika değeri bakımından güvenli bölgede bulunmaktadır.

4. SONUÇLAR ve ÖNERİLER (RESULTS and SUGGESTIONS)

Türkiye'de oldukça geniş alanlarda bulunan bazaltlar gerek agrega gerekse de yapı ve kaplama malzemesi olarak sınırlı düzeyde kullanılmaktadır. Bu çalışmada, Ilica (Kütahya) yöresi bazaltlarının alternatif beton agregası olarak kullanılabilirliği araştırılmıştır. Ilica (Kütahya) yöresinde bulunan ve halen taş ocağı olarak üretim yapılan Ilica bazaltının, malzeme özelliklerinin belirlenmesi amacıyla petrografik-mineralojik (polarizan mikroskop, XRD ve SEM) ve kimyasal analizler yapılmıştır. Ocaktan alınan bazalt numuneleri, ince (0-4 mm) ve iri (4-11,2 mm ve 11,2-22,4 mm) boyutlarına sınıflandırılmış ve bunlara TS 706 EN 12620+A1 standardına uygun test ve deneyler yapılarak agrega olarak kullanılabilirliği incelenmiştir. Bu analiz, test ve incelemeler sonucunda aşağıdaki sonuçlar elde edilmiştir.

Bazalt numunesinin petrografik ve mineralojik inceleme sonuçlarına göre, labrador, piroksen (ojit), muskovit, montmorillonit, az oranda da sanidin ve kuvars minerallerinden meydana geldiği belirlenmiş olup kayaca kimyasal analiz verileriyle bazaltik andezit tanımlaması yapılmıştır.

Elek analizleri TS 3530 EN 933-1 standardına uygun olarak yapılmış ve granülometri eğrileri çizilmiştir. Bazalt agregalarına yapılan elek analizi sonucunda çıkan

granülometri eğrileri, TS EN 706 standardı granülometri eğrisi sınırları içerisinde kalmaktadır. Agregalarda bulunan ince maddelerin, betonda prize etki etmesi, mukavemeti düşürmesi, çimento hamurunda zararlı kimyasal reaksiyonlara yol açabilmesi ve donatının korozyona karşı korunmasını azaltıcı etkileri bulunmaktadır. İnce maddeler, ayrıca yoğun suyunun miktarını arttırmaktadırlar. Bu olumsuz etkileri yanında, agreganın içinde belli bir miktara kadar bulunabilen ince maddeler, betonun işlenmesinde ve yerleştirilmesinde olumlu rol oynamaktadır. Bazalt agregasının ortalama incelik modülü 2,3 olup uygun özelliktedir.

Genel olarak agreganın birim ağırlığının 1.300-1.900 kg/dm³ arasında olması istenmektedir. Ayrıca sıkışık yığın yoğunluğu ne kadar yüksek ise, basınç dayanımı ve dış etkenlere dayanım da o kadar yüksek olmaktadır. Bazalt agregaları genel olarak beton için gerekli yığın yoğunluğu sınır değerleri içerisinde yer almaktadır. İri agregalar (4-11,2 mm ve 11,2-22,4 mm) ortalama 1.504 ve 1.543 kg/dm³ değerlerine sahiptir, 0-4 mm boyutlu ince agrega ise 1.631 kg/dm³ değerine sahiptir. Sıkışık yığın yoğunluğu sonuçları, agregaların gevşek ve sıkışık yığın yoğunluğu yönünden beton yapımında kullanılabilir olduğu göstermektedir.

Beton karışım hesapları için agregaların özgül ağırlığının bilinmesi gereklidir. Agregaların özgül ağırlıklarının fazla olması ile doku daha kompakt olacağı için kayacın kimyasal ve mekanik etkilere dayanıklılığı da fazla olacaktır. Özgül ağırlıklar, iri agregalar (4-11,2 mm ve 11,2-22,4 mm) için 2,72 ve 2,75 kg/dm³, ince agrega (0-4 mm) için ise 2,71 kg/dm³'dir. TS EN 206-1 standardının öngördüğü limit özgül ağırlık değerleri 2,50-2,70 kg/dm³ arasında olduğundan, iri ve ince agregalar önerilen sınır değerleri içinde yer almaktadır. Su emme miktarı, kayacın fiziksel ve mekanik özelliklerinden başlıca dayanım, büzülme, donma ve durabiliteyi etkilemektedir. Su emme oranı 0-4 mm boyut aralığında yer alan ince agregalar için %1,12, 4-11,2 mm ve 11,2-22,4 mm boyutunda yer alan iri agregalar için sırasıyla %1,55 ve %2,51 olarak tespit edilmiştir. Bazalt agregalarının su emme değerleri standartlara uygun özelliktedir.

Betonda kullanılan agreganın şeklinin küresel veya küreye yakın olması istenmektedir. Şekilce uzun taneler, betonda işlenmeyi zorlaştırır, ayrıca yüksek kesme direnci vermektedir. Betonda yoğun olarak bulunan küresel taneler, daha iyi biçimde yerleşerek, boşlukları minimuma indirmektedir. Yassılık indeksi, tane büyüklüğü 4 mm ile 80 mm olan agregalar için önemlidir. Bazalt agregalarının yassılık değeri %12,26 olarak bulunmuştur. Bu yassılık indeksi değeri ile TS 706 EN 12620+A1 standardına göre FI₁₅ kategorisinde yer almaktadır.

Agregaların aşınma direnci, agrega tanelerinin kırılabilirliği ve sertliği, süreksizlik düzlemleri, minerallerin kenetlenmesi ile taneler arası bağın mukavemetini yansıtmaktadır. Los Angeles (Aşınma) deneyinde, aşınma oranı 4-11,2 mm boyutu için %14,8,

11,2-22,4 mm boyutu için %12,8 olarak bulunmuştur. Buna göre; Los Angeles katsayısı, LA₁₅ kategorisine uymaktadır. Bu değerlere göre bazalt agregaları, aşınmaya karşı oldukça dayanıklıdır.

Atmosfer etkilerine maruz kalan betonların en önemli özelliklerinden birisi de donma ve çözünme etkilerine karşı gösterdiği dirençtir. Bu özellik agregaların porozite, su emme ve taneler arası boşluk gibi özelliklerine bağlıdır. Bazalt agregalarında 11,2-22,4 mm boyutlu iri numunenin donma-çözünme dayanıklılık değeri ortalama %3,23, daha ince olan 4-11,2 mm boyutlu numunenin değeri ise %9,23 bulunmuştur. Donma ve çözülme karşı direnç her iki boyutlu numune MS₁₈ kategorisinde yer almaktadır. Bu verilere göre incelenen bazalt agregaları, donma ve çözünme etkilerine karşı oldukça dayanıklıdır.

Alkali-silis reaksiyonuna neden olan agregalar arasında; bazı asit veya nötr karakterli volkanik kayalar yer almaktadır. Ayrıca, volkan camı, reaksiyon oluşumunda oldukça etkilidir. Nitekim bu konuda son yıllarda yapılan bazı çalışmalarda, bazaltların agrega olarak değerlendirilmesinin önündeki en önemli engelin ASR olduğu belirtilmiştir [40]. Kimyasal analiz sonuçlarından da görüldüğü gibi bazalt agregası SiO₂ oranı %52,80'dir. Bu nedenle bazalt agregaları için alkali reaktivitesi deneyleri yapılması gerekmektedir. Bazalt agregalarında, harç çubuğu deney yöntemine göre 21 günlük genleşme oranı ortalaması %0,093 olarak bulunmuştur. Genleşme oranı değeri %0,1 değerinin altında olduğu için alkali silika değeri bakımından güvenli bölgede bulunmaktadır. Bazalt agregaları ile yapılan alkali-silis reaksiyon deneylerinde, düşük reaktivite gösteren agregalar olduğu belirlenmiştir. Bu tür bazaltların beton agregası olarak kullanılması durumunda; düşük alkaliniteye sahip çimentoların (Na₂O+0,658 K₂O değeri %0,60'dan düşük) kullanılması veya beton içerisine puzzolanik maddelerin katılması uygun olacaktır. Araştırılan bazaltlar, belirtilen limit değerlere göre, alkali-silis reaksiyonu açısından zararsızdır.

Ayrıca metilen mavisi, organik madde tayini, suda çözünebilir klorür tayini, asitte çözünebilir sülfat tayini, toplam kükürt miktarının tayini gibi deney sonuçları da bazalt numunesinin agrega olarak kullanılabilirliğini göstermiştir.

Sonuç olarak; standarda uygun olarak bazalt taş ocağından alınan numuneler, boyut küçültme, numune azaltma ve boyuta göre sınıflandırma işlemine tabi tutulduktan sonra ince (0-4 mm) ve iri (4-11,2 mm ve 11,2-22,4 mm) agrega olarak sınıflandırılmıştır. Sınıflandırılan numunelere uygulanan petrografik ve mineralojik, kimyasal, fiziksel testler ve/veya analizler sonucunda; İlica (Kütahya) bazaltlarının "TS 706 EN 12620+A1 Beton Agregaları" standardında aranan özelliklere uygun olduğu ve İlica yöresi bazaltının, beton agregası olarak kullanılabilirliği tespit edilmiştir. Bazalt, Türkiye'de birçok bölgede yaygın olarak bulunmaktadır. Bazalt son yıllarda, demiryolu balast malzemesi olarak kullanımının artmasıyla birlikte, kırmataş sektöründe

gittikçe önem kazanmaktadır. Aynı şekilde alternatif beton agregası olarak kullanılmaya başlanması durumunda hem bazalt rezervleri değerlendirilmiş hem de ülke ekonomisine katkı sağlanmış olacaktır.

KAYNAKLAR (REFERENCES)

- Şengül Ö., Taşdemir C., Kuruç Ş. ve Yüceer Z., "Agrega türünün farklı beton sınıflarının aşınma dayanımına etkisi", **5. Ulusal Beton Kongresi**, TMMOB İnşaat Mühendisleri Odası, 525-534, İstanbul, (2003).
- Düzbasan S., Uluöz S., Yakıt E. ve Camcıoğlu M., "Kalker agregadaki kristalli kalsitin öngermeli prekast giriş kalitesine etkisi", **Hazır Beton Kongresi Bildirileri**, 247-257, (2011).
- Uz B., "Bazaltların kırmataş yönünden değerlendirilmesi "Trakya-Tekirdağ Bölgesi bazaltları örneği", **2.Ulusal Kırmataş Sempozyumu'99**, 1-12, İstanbul, (1999).
- Korkanç M. ve Tuğrul A., "Evaluation of selected basalts from the point of alkali-silica reactivity", **Cement and Concrete Research**, 35: 505-512, (2005).
- Ingrao C., Giudice A. L., Tricase C., Mbohwa C. and Rana R., (2014) "The use of basalt aggregates in the production of concrete for the prefabrication industry: environmental impact assessment, interpretation and improvement", **Journal of Cleaner Production**, 75: 195-204, (2014).
- Engidasew T. A. and Barbieri G., "Geo-engineering evaluation of Termaber basalt rock mass for crushed stone aggregate and building stone from Central Ethiopia", **Journal of African Earth Sciences**, 99: 581-594, (2014).
- Ibrahim A., Faisal S. and Jamil N., "Use of basalt in asphalt concrete mixes", **Construction and Building Materials**, 23(1): 498-506, (2007).
- Paige-Green P., "Durability testing of basic crystalline rocks and specification for use as road base aggregate", **Bull Eng Geol Environ**, 66:431-440, (2007).
- Iskender E., "Rutting evaluation of stone mastic asphalt for basalt and basalt-limestone aggregate combinations", **Composites: Part B**, 54: 255-264, (2013).
- Weidong C., Shutang L. and Zhigang F., "Comparison of performance of stone matrix asphalt mixtures using basalt and limestone aggregates", **Construction and Building Materials**, 41: 474-479, (2013).
- Alonso E., Martínez L., Martínez W. and Villaseñor L., "Mechanical properties of concrete elaborated with igneous aggregates". **Cement and Concrete Research**, 32(2): 317-321, (2002).
- Korkanç M. ve Tuğrul A., "Evaluation of selected basalts from Nigde, Turkey, as source of concrete aggregate", **Engineering Geology**, 75: 291-307, (2004).
- Çopuroğlu O., Andiç-Çakır Ö., Broekmans M.A.T.M. and Kühnel R., "Mineralogy, geochemistry and expansion testing of an alkali-reactive basalt from western Anatolia, Turkey". **Materials Characterization**, 60(7): 756-766, (2009).
- Tiecher F., Dal Molin D.C.C., Gomes M.E.B., Hasparyk N.P. and Monteiro P.J.M., "Influence of mesostasis in volcanic rocks on the alkali-aggregate reaction", **Cement and Concrete Composites**, 34: 1130-1140, (2012).
- TS 706 EN 12620+A1, "Beton agregaları", **Türk Standartları Enstitüsü**, Ankara. (2009).

16. TS 5694 EN 12670, “Doğal taşlar-Terimler ve tarifler”, *Türk Standartları Enstitüsü*, Ankara, (2004).
17. TS EN 932-2, “Agregaların genel özellikleri için deneyler Bölüm 2: Laboratuvar numunelerin azaltılması metodu”, *Türk Standartları Enstitüsü*, Ankara, (1999).
18. TS EN 933-1, “Agregaların geometrik özellikleri için deneyler-Bölüm 1: Tane büyüklüğü dağılımının tayini- Eleme yöntemi”, *Türk Standartları Enstitüsü*, Ankara, (2015).
19. TS 10088 EN 932-3/A1, “Agregaların genel özellikleri için deneyler Kısım 3: Basitleştirilmiş petrografik tanımlama için işlem ve terminoloji”, *Türk Standartları Enstitüsü*, Ankara, (2006).
20. TS EN 933-9, “Agregaların geometrik özellikleri için deneyler- Bölüm 9: İnce tanelerin tayini- Metilen mavisi deneyi”, *Türk Standartları Enstitüsü*, Ankara, (2014).
21. TS EN 933-3, “Agregaların geometrik özellikleri için deneyler bölüm 3: Tane şekli tayini yassılık endeksi”, *Türk Standartları Enstitüsü*, Ankara, (2012).
22. TS EN 1097-2, “Agregaların Mekanik ve fiziksel özellikleri için deneyler Bölüm 2: Parçalanma direncinin tayini için metotlar”, *Türk Standartları Enstitüsü*, Ankara, (2010).
23. TS EN 1097-6, “Agregaların mekanik ve fiziksel özellikleri için deneyler Bölüm 6: Tane yoğunluğu ve su emme oranının tayini”, *Türk Standartları Enstitüsü*, Ankara, (2013).
24. TS EN 1097-3, “Agregaların fiziksel ve mekanik özellikleri için deneyler Bölüm 3: Gevşek yığın yoğunluğunun ve boşluk hacminin tayini”, *Türk Standartları Enstitüsü*, Ankara, (1999).
25. TS EN 1097-5, “Hava dolaşımı etüvde kurutma ile su muhtevasının tayini”, *Türk Standartları Enstitüsü*, Ankara, (2009).
26. TS EN 1367-2, “Agregaların termal ve bozunma özellikleri için deneyler Bölüm 2: Magnezyum sülfat deneyi”, *Türk Standartları Enstitüsü*, Ankara, (2011).
27. TS EN 1744-1+A1, “Agregaların kimyasal özellikleri için deneyler- Bölüm 1: Kimyasal analiz”, *Türk Standartları Enstitüsü*, Ankara, (2013).
28. Rojay B., Yalınz K.M. and Altın D., “Tectonic Implications of some Cretaceous pillow basalts from the North Anatolian ophiolitic melange (Central Anatolia-Turkey) to the evolution of Neotethys; Turkish”, *J. Earth Sci.*, 10: 93-102, (2001)
29. Le Bas M.J., Le Maitre R.W. and Woolley A.R., “The construction of the total alkali-silica chemical classification of volcanic rocks”, *Miner Petrol*, 46: 1-22, (1992).
30. Irvine T.N. and Baragar W.R.A., “A guide to the chemical classification of the common volcanic rocks”, *Canadian Journal of Earth Sciences*, 8: 523-548, (1971).
31. Zimbelmann R., “A contribution to the problem of cement – aggregate bond”, *Cement and Concrete Research*, 15: 801-808, (1989).
32. Erdoğan T. Y., “Beton”, *ODTÜ Geliştirme Vakfı Yayıncılık ve İletişim A.Ş. Yayını*, Ankara, (2003).
33. Coşkun E., “TS-802’ye uygun betonlar için agrega gruplarının bilgisayar yardımıyla oranlandırılması”, *Yüksek Lisans Tezi*, Erciyes Üniversitesi Fen Bilimleri Enstitüsü, (2009).
34. Şimşek O., “Beton Bileşenleri ve Beton Deneyleri”. *Gazi Üniversitesi Yayınları*, Ankara. (2007).
35. Özışık G., “Beton”. *Birsan Yayınevi*, İstanbul, (2000).
36. Kambiz R., “Betonda alkali-silis reaksiyonu bir derleme (Çağrılı Bildiri)” *Beton 2013 Hazır Beton Kongresi*, 21-23 Şubat İstanbul, 289-311, (2013).
37. Arslan M., “Beton (Dökümü, kalıpları, kusurları, dayanıklılığı)”. *Atlas Yayınları*, İstanbul, (2001).
38. Katayama T., St John D.A. and Futagawa T., “The petrographic comparison of rocks from Japan and New Zealand - potential reactivity related to interstitial glass and silica minerals”. In Okada K., Nishibayashi S. and Kawamura M. (Eds.), *8th International conference (on) alkali-aggregate reaction*, 537-541, London, (1989).
39. ASTM C 1260-94, “Standard test method for potential alkali reactivity of aggregates”, *Annual Book of ASTM Standards; Section Concrete and Mineral Aggregates*, Philadelphia, (1997).
40. Pek N.A., “Beton deniz yapılarında bazalt agrega kullanımı”, *İMO Teknik Dergi*, 6849-6866, 422, (2014).